

東京大学工学部

正員

玉井 信行

東京大学大学院

学生員

地田 清宏

## 1. はじめに

感潮域の混合形態は、一般的に、弱混合、緩混合、強混合に分類される。不連続な密度分布を有する2層流れはいわゆる塩水楔や、原理的には弱混合の場合のみ適用される。しかしながら、通常行なわれる1次元解析では鉛直方向に平均操作が施されるので、連続的な密度分布を考慮しても2層流れに置換できる場合が多い。この場合には、分布曲線の勾配あるいは密度の絶対値などを基準に塩水層と淡水層とに区分する。こうした場合の2層モデルは緩混合型の感潮部にも適用できること考えられる。

河川で通常見られる2層流では常流が出現している。従って、定常流における数値計算は下流から行なうのが理に適っている。また非定常計算においても下流端の条件を知ることが重要である。本論文ではこうした下流端における条件を河口条件と呼び、これを理論的に決定する過程を検討した。

## 2. 経験的な手法

ここでは内部限界水深の生ずる位置を水理的河口と呼ぶ。そしてこの位置を図-1に示すように地理的河口より $x_0$ だけ沖合に設定した。 $x_0$ の値を変化させ、実験<sup>1)</sup>の内部界面に最もよく適合する場合の $x_0/b_0$ の値を示し

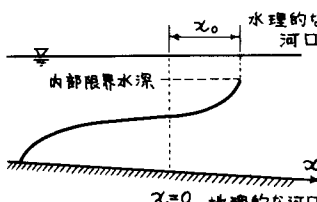


図-1 水理的な河口位置

Run	$x_0$ (cm)	$x_0/b_0$
3	320	11
7	300	10
11	180	6
14	500	17
18	200	7

表-1 水理的な河口位置の移動量

たのが表-1である。計算の前提は不連続な密度分布、界面での連行は考慮せず、界面抵抗係数としては玉井・味枝<sup>2)</sup>のものを用いた(式(1)参照)。表-1に見られるように水理的な河口位置は、地理的な河口から水路幅の5~15倍程度沖側の点となる。しかしながらこの移動量は実際の河口流出の形態から推測され、その値に比べて大き過ぎると共に、最適な移動量が一定ではない。従ってこうした方法は便宜的に用いるにしても、その適用についてはかなりの注意を要すると思われる。

## 3. 連行を考えた水面形方程式に基づく考察

最近では境界面での混合を考慮した塩水楔の挙動の解析を行なわれている(例えば(3))。定常な塩水楔の場合には下層が停止しているので流質の移動は常に下層から上層に向かうことになる。従って、上層は下流側に向って流量の増加する流れとなり、下層は先端部においては流量が0となるが、塩水楔が停止するためには上層への連行を補うための海水補給が海側から行なわれなければならぬ。X軸を海側にとると、下層は楔の先端より徐々に負の流量が増大する流れとなる。本研究は連行を考慮した場合のこうした流れの特性を水面形曲線を通して明確にし、合理的な河口条件を導き出すものである。定常状態に対する基礎方程式は次式となる。

$$(1) \quad \begin{aligned} -i + \left(1 - \frac{\rho' - \rho}{\rho' P}\right) \frac{dh}{dx} + \frac{dh'}{dx} - \frac{\alpha v^2 dA}{gA} + \frac{\alpha v}{gA} \frac{dQ}{dx} + i_f + \frac{h}{\rho' P} \frac{dP}{dx} &= 0 \\ -i + \frac{\rho}{\rho'} \frac{dh}{dx} + \frac{dh'}{dx} - \frac{\alpha v'^2 dA'}{gA'} + \frac{\alpha v'}{gA'} \frac{dQ'}{dx} + i_f + \frac{h}{\rho' P} \frac{dP}{dx} &= 0 \\ \frac{dQ}{dx} = E |v - v'| b_i, \quad \frac{dQ'}{dx} = -E |v - v'| b_i, \quad \frac{dP}{dx} = -\frac{v - v'}{v} \frac{\rho' - \rho}{\rho} E \\ f_i = 0.09 (Re F_d^{-5})^{-1/2}, \quad E = 6 \times 10^{-3} F_d^{10/3} \end{aligned}$$

ここにフライムを付した量は下層に関する量で、 $P_0$ は上層のレイノルズ数、 $F_0$ は密度フルード数、 $E$ は連行係数で須賀<sup>3)</sup>によるものである。この基礎式は上層の密度分布が線形に変化する場合に対するものであり、上下層の密度差が一定で不連続な場合は第1式の第2項の係数が1であるほか、 $ds/dx = 0$  とすればよい。また、連行を無視する場合には  $E=0$  とする。水面、界面、底面の鉛直座標をそれぞれ  $S$ 、 $H$ 、 $B$  とすれば、式(1)は次の形に表わせる。

$$(2) \frac{dS}{dx} = \frac{f_1(S, H, Q, Q', x)}{g(S, H, Q, Q', x)}, \quad \frac{dH}{dx} = \frac{f_2(S, H, Q, Q', x)}{g(S, H, Q, Q', x)}$$

停止した塁水楔の場合には自由水面は水平となるので、 $Q, Q', S$  を与えたとき  $f_2(H, x) = 0$  を満す界面位置を等流深と呼び、 $g(H, x) = 0$  を満す組を限界水深と呼ぶ。

河道部から海へ流出する淡水は浮力のために横方向に拡がるが、その特徴を1次元解析で表現するために図-2に示すように海側で水路幅を拡がる際に拡がり、かつ水深も増大させた。このようにして支配断面の出現位置を調べた例が図-3である(点a, b)。この場合の下層流量は連行を補償するための量であるが、この数値は例示用のものである。図-4に実験結果との比較を示す。曲線Aは連行なし、密度不連続、限界水深から出発した計算結果であり、Bは連行考慮、密度直線分布、支配断面より出発した結果である。この場合には楔先端における上層流量が淡水流量、下層流量が0となるまで支配断面位置での流量の仮定を反復して行なっている。図-4の例では支配断面からの計算が実験とよく一致した例であるが、予測が一致しない例もあり、不規則な河道の実河川への適用を含め、今後検討すべき課題もある。しかししながら支配断面モデルによれば河口の条件は一義的で決定され、界面は岸浦から射流端へと滑らかに接続し、水面曲線の一般的な挙動とも一致する(從来の跳水モデルは逆)。そして射流状態が近づくと連行量が非常に大きくなるので、内部跳水による不連続現象を考慮せよ物理的には同様の現象が出現するとと思われる。

また利根川などの実測<sup>4)</sup>によると河口付近では密度フルード数が1の周辺で変動している、塁水くさびが河口まで0.5 km付近で潜り始め、1~1.5 km付近で漏出することが報告されている。こうした現象は図-3の水面曲線の特徴を考慮すると定性的には出現の予測ができる。図-3の符号は界面の勾配を示し、点(b)は渦状点に似た性質である。従って点(b)付近では内部跳水が生ずると思われる。河口部での水路幅は30 cmと12演算しているので、この場合(b)点は幅の3倍程度沖合の位置となる。より詳細な議論を行なうには基礎式に含む係数、あるいは河口部の流れについてさらに実態を知ることが重要と考えられる。

### 参考文献

- 1) 玉井信行: 河口密度流の研究、東京大学卒業論文、1964.
- 2) 玉井信行、浅枝 隆: 深層2層流境界面上における抵抗係数について、土木学会論文報告集第271号、1978.
- 3) 須賀亮三、高橋 寛: 混合を考慮した河口からの塁水くさびの過渡、第18回水講、1974.
- 4) 須賀亮三、高橋 寛: 河口流出流に関する実測に基づく考察、第24回海講、1977.

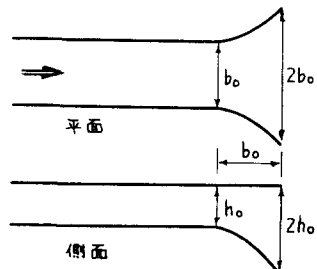


図-2 数値計算上の水路形状

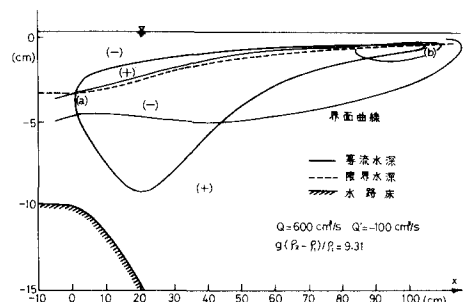


図-3 支配断面と界面曲線

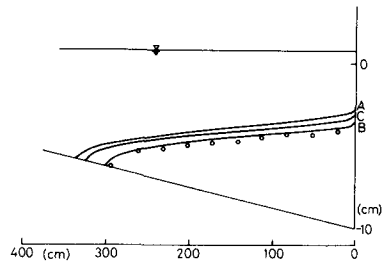


図-4 支配断面モデルと実験値との比較例